

Kleinwohnungsbauten der Architekten Fritschi & Zangerl, Winterthur

Autor(en): [s.n.]

Objektyp: **Article**

Zeitschrift: **Schweizerische Bauzeitung**

Band (Jahr): **67/68 (1916)**

Heft 21

PDF erstellt am: **20.09.2024**

Persistenter Link: <https://doi.org/10.5169/seals-33112>

Nutzungsbedingungen

Die ETH-Bibliothek ist Anbieterin der digitalisierten Zeitschriften. Sie besitzt keine Urheberrechte an den Inhalten der Zeitschriften. Die Rechte liegen in der Regel bei den Herausgebern.

Die auf der Plattform e-periodica veröffentlichten Dokumente stehen für nicht-kommerzielle Zwecke in Lehre und Forschung sowie für die private Nutzung frei zur Verfügung. Einzelne Dateien oder Ausdrucke aus diesem Angebot können zusammen mit diesen Nutzungsbedingungen und den korrekten Herkunftsbezeichnungen weitergegeben werden.

Das Veröffentlichen von Bildern in Print- und Online-Publikationen ist nur mit vorheriger Genehmigung der Rechteinhaber erlaubt. Die systematische Speicherung von Teilen des elektronischen Angebots auf anderen Servern bedarf ebenfalls des schriftlichen Einverständnisses der Rechteinhaber.

Haftungsausschluss

Alle Angaben erfolgen ohne Gewähr für Vollständigkeit oder Richtigkeit. Es wird keine Haftung übernommen für Schäden durch die Verwendung von Informationen aus diesem Online-Angebot oder durch das Fehlen von Informationen. Dies gilt auch für Inhalte Dritter, die über dieses Angebot zugänglich sind.

untersuchen haben und finden, dass er eine *zirkuläre Kurve 3. Ordnung* darstellt.¹⁾

Kurven dieser Art sind nicht mehr so einfach zu konstruieren wie Gerade und Kreise. Man wird deshalb, wenn nicht besondere Gründe vorliegen, die Vektordiagramme nicht auf solchen Ortskurven aufbauen, wenn einfachere zur Verfügung stehen. Wir ziehen also aus diesen Betrachtungen den Schluss, dass es in unserem bestimmten Fall angezeigt gewesen wäre, die Vektordiagramme

Kleinwohnungsbauten der Architekten Fritschi & Zangerl, Winterthur.

(Mit Tafeln 33 und 34.)

Vom volkswirtschaftlichen Standpunkt aus weit wichtiger als architektonische Glanzleistungen in künstlerisch interessanten Monumentalbauten ist die Pflege des Kleinwohnungsbaues, die Schaffung guter Typen für die Wohnbedürfnisse der erdrückend grossen Mehrheit der Bevölke-



Abb. 5. Dreifamilienhaus Thoma. — Südgiebel.



Abb. 6. Dreifamilienhaus Thoma. — Nordgiebel.

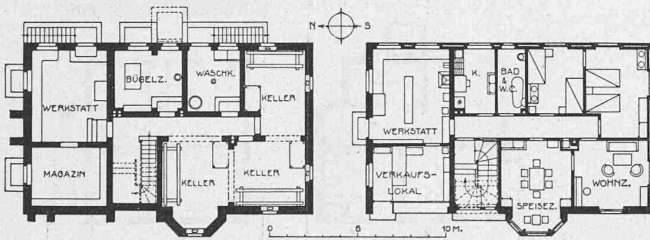
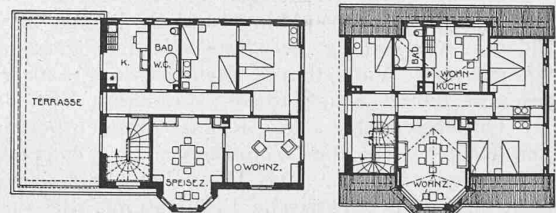


Abb. 4. Grundrisse des Dreifamilien-Wohnhauses Thoma, mit Laden- und Werkstatt-Anbau. — Masstab 1 : 400.



auf den Ortskreisen der Flüsse F_x und F_y aufzubauen. Wir hätten uns dadurch die nachträgliche Reduktion der Diagramme auf konstante Spannung ersparen können.²⁾ Dagegen würde es sich nicht empfohlen haben, direkt auf das Netzstromdiagramm für konstante Spannung hinzu-
steuern.³⁾

Nach dieser Anwendung der gewonnenen Kenntnisse auf einen bestimmten Fall, werden wir zum weitem Ausbau der entwickelten Methode zurückkehren. Der zweite Teil wird uns zu den *Kegelschnitten*, sowie zu *Kurven 3. Ordnung* führen, die alle bei Aufgaben aus der Alltags-Praxis der Elektrotechnik eine Rolle spielen. (Schluss folgt.)

¹⁾ Vergl. z. B. Algebraische Kurven, Sammlung Göschen, Nr. 435/36.

²⁾ In jenem Zusammenhang wurde dies aber unterlassen, um möglichst alle Ueberlegungen auszuschalten, die sich nicht mit der Hauptfrage des Wicklungssinnes berühren.

³⁾ Diese Ueberlegungen werfen ein Licht auch auf die Frage nach der Zweckmässigkeit der bisher ausschliesslich üblichen Verwendung der Inversion für den Uebergang von *Spannungsdiagrammen* bei konstantem Strom auf *Stromdiagramme* bei konstanter Spannung. Man kennt die Denkweise, die durch erzwungene, der Natur der Probleme häufig fremde Analogieschlüsse zu dieser einseitigen Entwicklung unserer Methoden geführt hat. Die obigen Darlegungen setzen die Inversion gewissermassen in ihre natürlichen Rechte ein und erhöhen dadurch ihre Leistungsfähigkeit um ein Vielfaches.

rung. Als solche vorbildliche Typen hatten wir u. a. vor etwas mehr als Jahresfrist¹⁾ die Häuser der Eisenbahnerkolonie Vogelsang in Winterthur sowie einige ähnliche gezeigt. Heute lassen wir aus dem Tätigkeitsgebiet der gleichen Architekten einige weitere Beispiele folgen. Wie

¹⁾ In Band LXVI, Seiten 42 und 52 (Juli 1915).

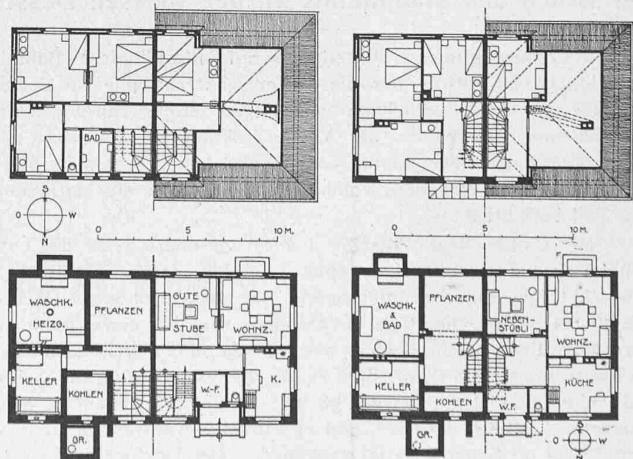


Abb. 2. Typ I. — Doppel-Einfamilienhäuser Bernet. — Abb. 3. Typ II.

dort waren auch diesen Häusern eng umschriebene Bauprogramme zugrunde gelegt, wobei auch die verfügbaren Geldmittel sehr beschränkte waren.

Die räumlichen Anforderungen gehen aus den beigegebenen Grundrissen (sämtlich 1 : 400) hervor, bedürfen also textlich keiner weiteren Erläuterung. Hinsichtlich der Ausführung mögen einige Angaben über die Baustoffe, Ausstattung und Kosten die bildlichen Darstellungen ergänzen.

Doppel-Einfamilienwohnhaus J. Oettli & Cie. im Breitequartier, Winterthur (Abb. 1, S. 240 und Tafel 33). Keller und Sockelmauerwerk in Beton, Aufgehendes in Backstein, über Keller Eisenbetondecke, im übrigen Holzgebälk, Fussböden im Erdgeschoss: in Küche und Vorhalle Tonplättli, in den Zimmern Linoleum, im Obergeschoss tannene Riemen, im Bad Massivdecke und Plättli; Ofenheizung. Kubikmass von Kellerboden bis Kehlgebälk $596 m^3$ (für das halbe Haus), Baukosten mit Architektenhonorar 16 926 Fr. oder 28,40 Fr./ m^3 .

Doppel-Einfamilienhäuser K. Bernet im Breitequartier, Winterthur (Tafel 34). Typ I (Abb. 2) Ausstattung etwas reichlicher als Haus Oettli, z. B. Eisenbetondecke auch über I. Stock, Linoleumbelag auch im I. Stock, Wohnzimmer gefäert; Treppen buchene Tritte in tannenen Wangen; Zentralheizung, verdeckt montierte elektrische Beleuchtung, in Küche und Bad Gas (Gas-Badeofen, emaillierte Wanne), Spülklosetts. Ausmass $630 m^3$, Baukosten 21 140 Fr. oder 33,55 Fr./ m^3 . — Etwas einfacher ist Typ II gehalten (Grundriss Abb. 3); so sind z. B. die Kunststein-Fenster-einfassungen weggelassen, bezw. auf die Fensterbank beschränkt (Klappläden an den Fensterrahmen befestigt), im übrigen wie Haus Oettli. Ausmass $520 m^3$, Baukosten 28,05 Fr./ m^3 .

Dreifamilien-Wohnhaus K. Thoma mit Werkstatt- und Ladenanbau an der Pflanzschulstrasse, Winterthur (Abb. 4 bis 6, S. 241). Ausführung ähnlich den vorherbeschriebenen Häusern. Ausmass $1463 m^3$, Baukosten 41 310 Fr. oder 28,25 Fr./ m^3 .

Einfamilienhaus R. Metzger mit Postbureau im Erdgeschoss in Kollbrunn (Abb. 7 und 8). Auch hier entspricht die Anwendung der Baustoffe mit geringen Abweichungen den Winterthurer Kleinwohnungshäusern. Im Erdgeschoss haben Schalterhalle, Windfang, Vorplatz und Abort Tonplattenbelag, die Remise Zementboden, die übrigen Räume, wie die Wohnräume der Obergeschose, Linoleumbelag erhalten. Das Haus hat Ofenheizung und verdeckt montierte elektrische Beleuchtung; Schalterhalle, Postbureau und Wohnstube sind mit tannemem Täfer versehen. Bei einem Raumgehalt von $1070 m^3$ entsprechen die Baukosten von 28 256 Fr. einem Einheitspreis von 26,40 Fr./ m^3 . Der gegenüber den in Winterthur erzielten Preisen etwas tiefere Kubikmeterpreis rührt wohl in der Hauptsache von den bescheidenen Forderungen der am Bau beteiligt gewesenen ortsansässigen Unternehmern her.

Der Bruch des Staudamms an der Weissen Desse.

In Ergänzung unserer Mitteilungen auf Seite 185 dieses Bandes (vom 14. Oktober 1916) über die Talsperrenkatastrophe im Gebiet der Weissen Desse entnehmen wir einem Bericht von Ingenieur E. Grohmann, Oberbaurat der k. k. Direktion für den Bau der Wasserstrassen, in der Wiener Fachschrift „Die Wasserwirtschaft“ die nachfolgenden Angaben, wobei die Zahlen die bereits gegebenen zum Teil berichtigen.

Der Damm liegt ungefähr 2 km vom oberem Ende der Ortschaft Dessendorf entfernt in einer Talmulde, deren Gefälle etwa 20 ‰ beträgt; unterhalb der Sperre hat die Talsohle ein Gefälle von 40 bis 60 ‰. Die Höhe des Damms wird bei einer Stauhöhe über der Talsohle von 12,65 m mit 14,45 m über Fundamentsohle, die Kronenbreite mit 4,0 m (Kote 820,6), die Sohlenbreite mit 45,5 m und seine sichtbare Kronenlänge mit 243,5 m angegeben. Sein Querschnitt beträgt $283,0 m^2$, und es wurden zu dessen Herstellung rund $32000 m^3$ Schüttmaterial verwendet. Der Hochwasserüberfall hat eine Gesamtlänge von 60 m.

Kleinwohnungsbauten der Arch. Fritschi & Zangerl.



Abb. 8. Einfamilienhaus Metzger in Kollbrunn (Tösstal).

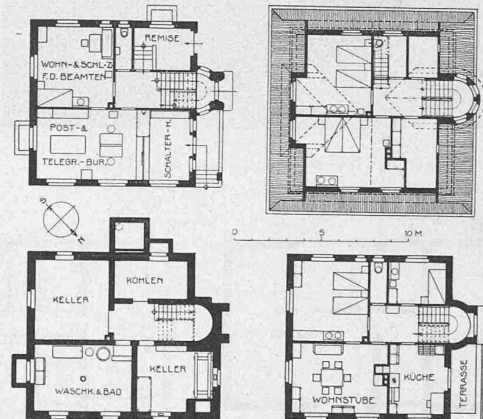


Abb. 7. Einfamilienhaus Metzger. — Grundrisse 1 : 400.

Die wasserseitige Böschung ist im oberen Teil 1 : 1 1/2 und nach Einschaltung zweier Bermen 1 : 2 geneigt, während die luftseitige ohne Unterbrechung bis zum Dammfuss eine Neigung von 1 : 1 1/2 erhalten hat. Zur Abdichtung des Untergrundes wurde an der Wasserseite des Damms bis zur Kote 802,65 ein 3 m breiter Lehmern eingestampft und ausserdem in den lehmigen Untergrund an der Wasserseite der Lehmwand eine Spundwand eingetrieben. Dieser Lehmvorfuss setzte sich über die ganze wasserseitige Böschungsfäche bis zur Krone des Damms fort und erreichte oben noch eine Stärke von 1,0 m. Zum Schutze gegen Abspülung durch Wellenschlag erhielt die Wasserseite des Damms ein auf einer 40 cm starken Schotterlage liegendes Bruchsteinpflaster von 30 cm Stärke.

Als Schüttungsmaterial diente der im Staubecken vorhandene, als dazu geeignet befundene „Lehmbofen“. Die Schüttung erfolgte, wie schon mitgeteilt, in Schichten von 40 cm, die mittels einer Benzinautowalze auf 30 cm Stärke komprimiert wurden. Zu den mit Bezug auf den Grundabstollen früher gemachten Angaben ist noch hinzuzufügen, dass, um die Bildung von Wasseradern unter dem Bauwerk zu verhindern, unter der Rohrstoß-Sohle „3,5 m tiefe Betonrippen“ quer in das Tal eingeschnitten und mit Lehm verstampft worden waren. Vor Eintritt der Katastrophe am 18. September d. J. soll über dem Scheitel des Rohrstoßes zuerst ein fingerdicker reiner Wasserstrahl wahrgenommen worden sein, der nach einer Viertelstunde bereits armstark schmutziges Wasser führte. Hierauf sei der Damm längs des Stollens zusammen-

es sich ja um das Spiegelbild der Geraden $D + Ev$ handelt, in dem die imaginären Grössen das entgegengesetzte Vorzeichen annehmen. Der Punkt, den wir so erhalten, entspricht dem Wert $v=0$. Für den Wert $v=1$ addiert sich dazu noch die Strecke $(-j \cdot 8\phi)$. Die Punkte $-j\phi$ (12, 14, 16, 18, 20) entsprechen also den Werten $v=0, 1/4, 1/2, 3/4, 1$, die in dem Beispiel verwendet wurden.

Die projizierenden Strahlen aus N durch diese Punkte schneiden aus dem Kreis die entsprechenden Endpunkte des Vektors F_y heraus. Dies für den Fall, dass wir $F_x=1$ gesetzt haben, was wir bei entsprechender Wahl des Massstabes immer tun können. Für die Genauigkeit der Konstruktion wird es vorteilhaft sein, ϕ so zu wählen, dass die Punkte und ihre Projektion möglichst nahe aneinander zu liegen kommen.

Für den Fall der zweiten Schaltung ist der Gang der Konstruktion selbstverständlich genau derselbe.

Aus Gleichung (D') (a. a. O.) entnehmen wir die Werte:
 $A = 6 + j \cdot 3$ $B = j \cdot 28$ $G = -3,5$
 $D = -28 + j \cdot 12$ $E = -j \cdot 8$ $H = -92 + j \cdot 45$

Die Gerade $D + Ev$ ist wiederum parallel zur imaginären Axe. Sie und ihr Spiegelbild in bezug auf die reelle Axe schneiden die letztere im Punkt (-28) . Der Mittelpunkt des Kreises $K(v)$ ist somit der Punkt $(-\frac{1}{56})$. Das Zentrum M des Kreises $H \cdot K(v)$ ist demnach

$$-\frac{1}{56}(-92 + j \cdot 45) = +1,64 - j \cdot 0,81.$$

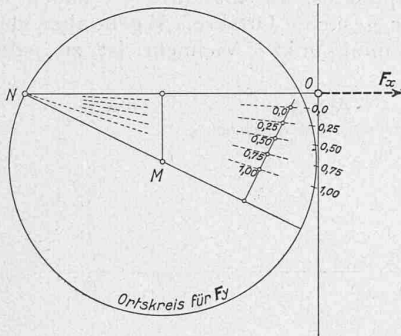


Abb. 4
Ortskreis f. d. zweite Schaltung

In Abbildung 4 ist dieser Kreis gezeichnet. Der Nullpunkt für die Vektoren F_y liegt gegenüber dem Punkte N um den Betrag $-G = 3,5$ verschoben. Wir gelangen auf diese Art zum Punkte O . Auf dem Durchmesser NM errichten wir hierauf im Abstand (28ϕ) ein Lot und tragen darauf die Strecke

$(j \cdot 12\phi)$ auf. Ihr Endpunkt entspricht dem Wert $v=0$ der Geschwindigkeitsskala auf der Geraden. Dem Wert $v=1$ entspricht der Punkt $j\phi$ (12-8). Den Werten $v=0, 1/4, 1/2, 3/4, 1$ entsprechen also die Punkte $j\phi$ (12, 10, 8, 6, 4). Projizieren wir endlich diese Punkte von N aus auf den Kreis, so sind damit die Endpunkte der entsprechenden Vektoren F_y gefunden, wenn wieder $F_x=1$ gesetzt worden ist.

Damit ist die Lücke ausgefüllt, die wir in der graphischen Lösung unserer Aufgabe in jener Studie über den Wicklungssinn gelassen hatten. Die hier graphisch gefundenen Endpunkte der Vektoren F_y stimmen tatsächlich mit den dort berechneten Zahlenwerten überein. Das zeichnerische Verfahren ist, wie man in der Durchführung sieht, um vieles einfacher als die Zahlenrechnung, die hier auf das unumgängliche Mindestmass zurückgeführt ist. Das Verfahren hat stets den Vorteil der Anschaulichkeit und gibt daher auch zu Fehlern weit seltener Anlass.¹⁾

Bevor wir unser Beispiel verlassen, soll die darin gestellte Aufgabe noch von einer andern Seite beleuchtet werden. Es wird sich dadurch auch die Brauchbarkeit der gewonnenen Kenntnisse unter einem neuen Aspekten zeigen.

Wir haben a. a. O. der Einfachheit halber $F_x = \text{konst.}$ gesetzt, während in Wirklichkeit die Klemmenspannung als konstant anzunehmen gewesen wäre. Wir mussten daher, um die dort in den Abbildungen 6 und 9 gegebenen Kurven

¹⁾ Ein Vergleich der Abbildungen 3 und 4 zeigt wieder in auffälliger Weise die grundsätzliche Bedeutung des Wicklungssinnes und die Notwendigkeit, ihn zu berücksichtigen.

zeichnen zu können, die gefundenen Diagramme nachträglich auf konstante Spannung reduzieren.

Wir wollen hier nun untersuchen, was für geometrische Orter sich für F_x und F_y ergeben, wenn wir von der Klemmenspannung U als der gegebenen konstanten Grösse ausgehen.

Aus der Gleichung (2) a. a. O. ergibt sich unter Berücksichtigung der Gleichungen (5) und (9)

$$U = j\omega N \left(1 - a \frac{F_y}{F_x}\right) F_x.$$

Der Wert $\frac{F_y}{F_x}$ ist uns durch die Gleichung (d) in der Form

$$\frac{F_y}{F_x} = \frac{A + Bv}{D + Ev}$$

gegeben. Es ergibt sich also:

$$\frac{F_x}{U} = \frac{1}{j\omega N \left(1 - a \frac{F_y}{F_x}\right)} = \frac{D + Ev}{j\omega N \left[(D - aA) + (E - aB)v\right]}$$

Das ist aber wiederum die Form der allgemeinen Kreisgleichung. Der geometrische Ort von F_x bei konstanter Spannung und veränderlicher Umlaufzahl ist demnach ein Kreis. Seine Konstruktion ist ebenso einfach, wie in den angeführten Beispielen.

Nun fragen wir weiter nach dem geometrischen Ort von F_y bei konstanter Klemmenspannung. Es ist

$$\frac{F_y}{U} = \frac{F_y}{F_x} \cdot \frac{F_x}{U} = \frac{A + Bv}{j\omega N \cdot [(D - aA) + (E - aB)v]}$$

Also auch in diesem Fall, wenn nicht F_x sondern U als konstant vorausgesetzt ist, bleibt der geometrische Ort von F_y ein Kreis.

Es ist nun naheliegend noch zu fragen, in welcher Weise z. B. der Netzstrom I_{x1} bei konstanter Klemmenspannung in Abhängigkeit von der Umlaufzahl sich ändert.

Die Gleichung (13) a. a. O. ergibt den Ausdruck:

$$\frac{1}{nN} F_y = -a I_{x1} + c I_{y2}.$$

Ferner lautet dort die Gleichung (c)

$$I_{y2} = \frac{\omega N}{jR} (c F_y + b F_x + jvc F_x).$$

Setzen wir diesen Wert für I_{y2} in die vorhergehende Gleichung ein, und bringen gleichzeitig I_{x1} allein auf die linke Seite, so erhalten wir

$$a I_{x1} = \left[\frac{\omega N}{jR} (bc + jvc^2) + \left(\frac{\omega N}{jR} c^2 - \frac{1}{nN} \right) \frac{F_y}{F_x} \right] F_x.$$

Zur Erleichterung der Uebersicht setzen wir nun den durch a dividierten Wert der eckigen Klammer identisch gleich dem Ausdruck

$$\left[H + Jv + L \frac{F_y}{F_x} \right] = \left[H + Jv + L \frac{A + Bv}{D + Ev} \right]$$

Setzen wir ferner den vorhin gefundenen Wert

$$\frac{F_x}{U} \equiv \frac{D + Ev}{M + Nv},$$

so erhalten wir für

$$\frac{I_{x1}}{U} = \frac{(H + Jv)(D + Ev) + L(A + Bv)}{M + Nv}.$$

Ordnen wir den Zähler der rechten Seite nach Potenzen des Parameters v und definieren:

$$\begin{aligned} (HD + LA) &\equiv A'; \\ (JD + HE + LB) &\equiv B'; \\ JE &\equiv C', \end{aligned}$$

so ergibt sich der Ausdruck

$$\frac{I_{x1}}{U} = \frac{A' + B'v + C'v^2}{M + Nv}$$

als Ort des Netzstromes bei konstanter Spannung. Dieser Ausdruck ist komplizierter als die bisher behandelten. Wir werden seine geometrische Bedeutung im II. Teil dieser Arbeit zu

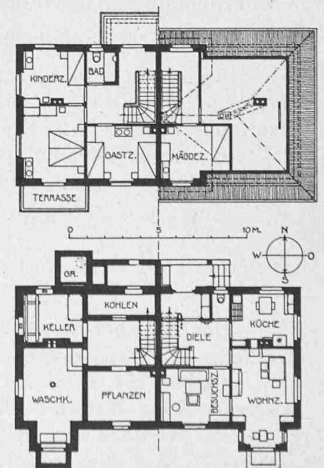
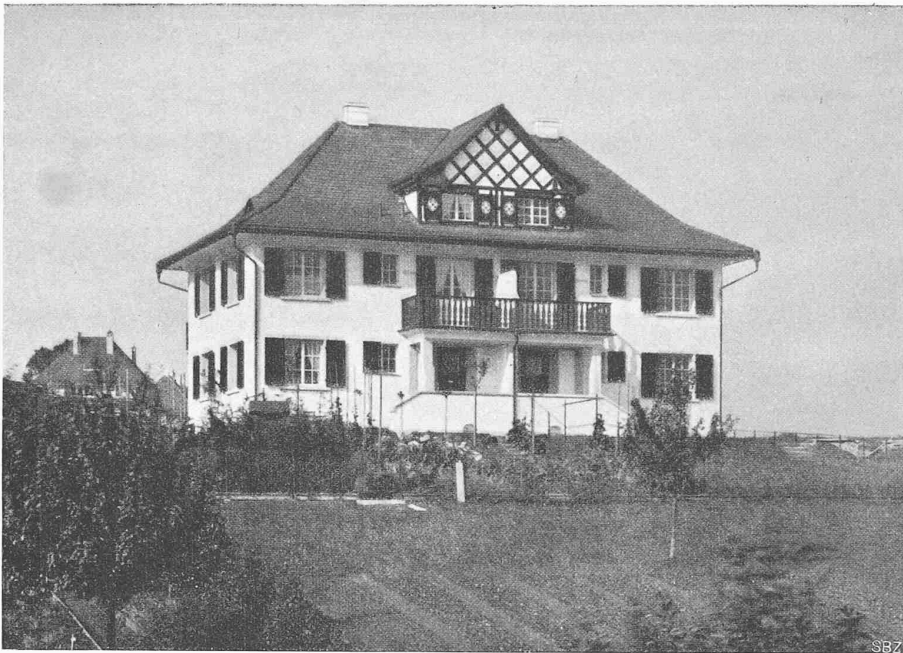


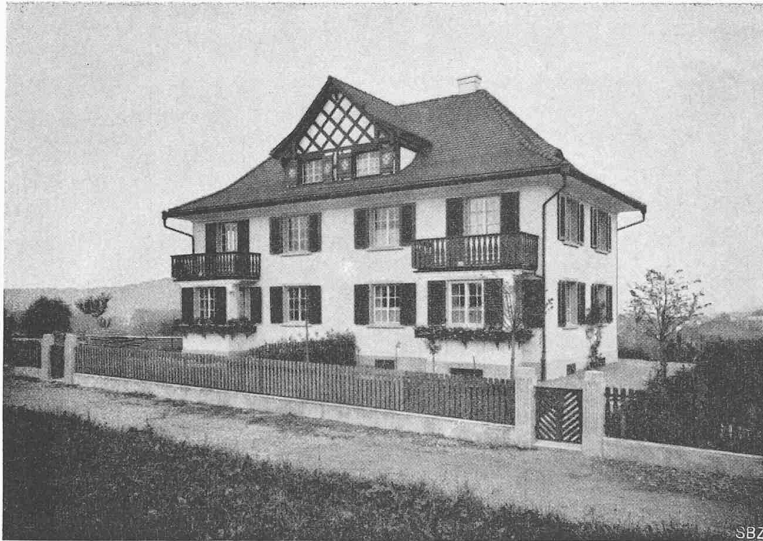
Abb. 1. Grundrisse Haus Oettli.



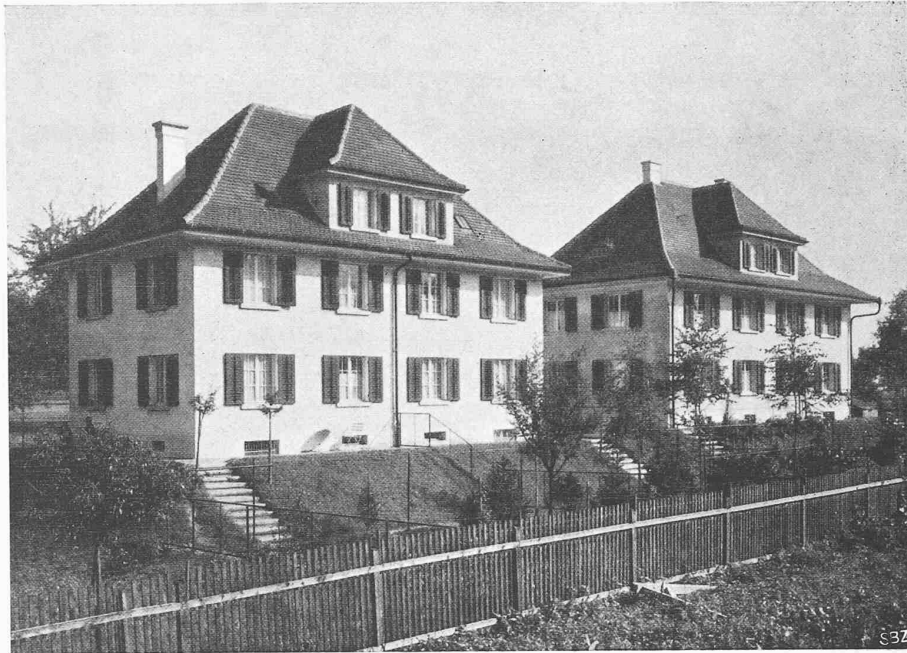
OBEN: NORDFRONT

UNTEN: SÜDFRONT

DOPPEL-EINFAMILIENHAUS J. OETTLI & CIE., WINTERTHUR



KLEINWOHNUNGSBAUTEN DER
ARCHITEKTEN FRITSCHI & ZANGERL, WINTERTHUR



OBEN: SÜDFRONTEN

UNTEN: NORDFRONTEN

DOPPEL-EINFAMILIENHÄUSER K. BERNET, WINTERTHUR



LINKS TYP

RECHTS TYP II

KLEINWOHNUNGSBAUTEN DER
ARCHITEKTEN FRITSCHI & ZANGERL, WINTERTHUR